



Síntese verde e livre de solvente de LiNbMoO₅ decorado com nanopartítulas de rutênio para a evolução de hidrogênio a partir do borano de amônia

Ana Paula M. Esteves¹*(G), Marcela O.B.Cortez¹ (PG), Gessica D.C Dias¹ (PG), Noemi C.S.D.Souza¹ (PG), Juliana P. Gomes² (PG), Tiago A. Silva (PQ)¹, Geraldo M. de Lima (PQ)², Renata P.L Moreira¹ (PQ)

¹Universidade Federal de Viçosa, Departamento de Química, Viçosa, Minas Gerais, Brasil, 36570-900. * ana.p.esteves@ufv

RESUMO

O desenvolvimento de catalisadores metálicos altamente eficientes para a desidrogenação hidrolítica do borano de amônio (AB, NH₃BH₃) continua sendo um desafio crucial na área de armazenamento e geração de hidrogênio. Neste trabalho, foi sintetizado um novo catalisador composto por nanopartículas de rutênio decoradas em LiNbMoO₆ (Ru NPs/ LiNbMoO₆), utilizando-se a rota de síntese em estado sólido para a preparação do suporte. As nanopartículas de rutênio (Ru NPs) foram incorporadas por meio de impregnação úmida, seguida de redução química. A atividade catalítica foi avaliada com base na hidrólise do AB em meio aquoso. O material apresentou elevado desempenho, com eficiência de conversão de ~90%, mantendo excelente estabilidade ao longo de 20 ciclos consecutivos, sem perda significativa de atividade e com liberação constante de hidrogênio. A taxa de geração de hidrogênio (HGR) superou 30.000 mL·min⁻¹·g⁻¹, e a energia de ativação foi determinada em 39,48 kJ·mol⁻¹, indicando elevada atividade catalítica. Esses resultados destacam o Ru NPs/ LiNbMoO₆ como um catalisador promissor para aplicações em sistemas de liberação controlada de hidrogênio via hidrólise de NH₃BH₃.

Palavras-chave: Síntese verde; armazenamento de hidrogênio; catálise; nanomateriais.

Introducão

Os combustíveis fósseis, ainda predominantes como principal fonte de energia no cenário global, enfrentam desafios crescentes relacionados ao esgotamento dos recursos naturais e aos impactos ambientais significativos decorrentes de sua exploração. Nesse contexto, torna-se urgente o desenvolvimento de alternativas energéticas sustentáveis¹. Entre essas alternativas, a energia do hidrogênio destaca-se por ser limpa, não tóxica e produzir apenas água como subproduto de sua combustão, além de apresentar elevada densidade energética e facilidade de armazenamento e transporte. O borano de amônio (NH₃BH₃, AB) tem sido amplamente investigado como transportador químico de hidrogênio, devido à sua alta densidade gravimétrica de hidrogênio (19,6%) e à sua estabilidade química.² Embora a hidrólise do AB ocorra de forma espontânea (Eq. 1), sua cinética é limitada, exigindo o uso de catalisadores eficientes para acelerar e maximizar a liberação de hidrogênio.

 $NH_3BH_3(aq) + 2H_2O\ (l) \rightarrow NH_4BO_2\ (aq) + 3H_2(g)$ (Eq. 1) Neste trabalho, foi avaliado o desempenho catalítico do LiNbMoO₆ decorado com nanopartículas de rutênio na hidrólise do AB em meio aquoso.

Experimental

Síntese do LiNbMoO6

Quantidades estequiométricas de MoO_3 , Li_2CO_3 e $Nb_2O_5 \cdot 5H_2O$ (na proporção de 2:1:1) foram misturadas em um almofariz, e a mistura resultante foi compactada em pastilhas, que foram aquecidas a 500 °C por 24 horas.

Após o aquecimento, o forno foi resfriado à temperatura ambiente. As pastilhas obtidas foram então moídas, misturadas em um almofariz e reformadas. O processo de aquecimento e resfriamento foi repetido e, finalmente, o LiNbMoO $_6$ resultante foi pulverizado novamente e armazenado à temperatura ambiente.

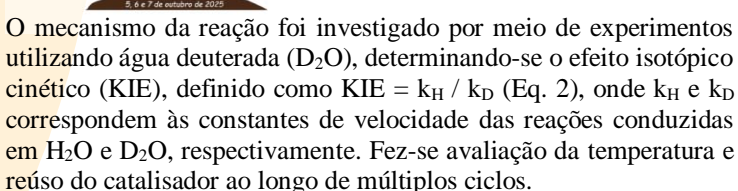
Síntese do catalisador Ru NPs/LiNbMoO6

Inicialmente, 10 mg do suporte foram dispersos em 5 mL de água destilada sob agitação. Em seguida, adicionou-se uma solução contendo 6 mmol% do sal precursor de rutênio. Após 10 minutos de agitação, procedeu-se à adição de 20 mg de borohidreto de sódio (NaBH₄), previamente dissolvidos em 5 mL de água destilada. A suspensão foi submetida à centrifugação, seguida de etapas de lavagem.

Evolução de hidrogênio

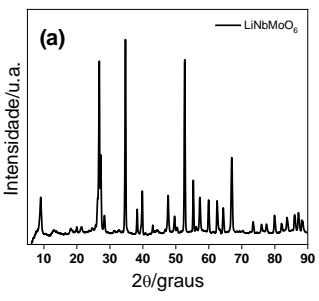
A reação de hidrólise do AB foi realizada em um tubo de Schlenk conectado a uma bureta, permitindo a medição do volume de hidrogênio gerado por deslocamento de líquido. O catalisador foi previamente disperso em água Milli-Q e transferido para o tubo de Schlenk, que foi então vedado com um septo de borracha. Em seguida, 1,00 mL de solução de AB (0,580 mmol L⁻¹) foi injetada no sistema, e a evolução de H₂ foi monitorada volumetricamente por meio da bureta acoplada. A temperatura da reação foi controlada ao longo do experimento. Foram realizados ensaios variando-se parâmetros como quantidade de catalisador, suporte, concentração de AB, adição de NaOH.





Resultados e Discussão

O sucesso da síntese do LiNbMoO₆ foi confirmado por difração de raios X (Fig. 1a), com os picos observados em conformidade com os dados do cartão JCPDS nº 50-0884 [1,2]. As imagens obtidas por MEV (Fig. 1b) revelaram uma morfologia pontiaguda e lamelar, embora sem definição estrutural definida [3]. A análise por EDS confirmou a presença dos elementos constituintes do material, incluindo o Rutênio.



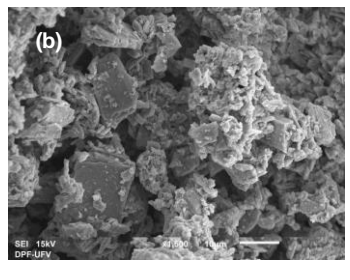


Figura 1. (a) DRX (b) MEV do Ru NPs/LiNbMoO₆

A atividade catalítica de diferentes metais (Pt, Pd, Ru, Rh, Ni, Co e Au) decorados em LiNbMoO₆ foi avaliada na hidrólise do AB (Fig. 2a). Dentre os candidatos, o Ru e o Rh apresentaram as maiores taxas de geração de hidrogênio (HGR), sendo o Ru selecionado para os experimentos subsequentes, em razão de seu desempenho superior e maior estabilidade. Ensaios controle com Ru NPs e o suporte LiNbMoO₆, ambos puros, não apresentaram atividade catalítica significativa, evidenciando o efeito sinérgico entre o metal e o suporte. A otimização da dose de Ru (Fig. 2b) mostrou que, embora 2 mmol% proporcionasse um maior HGR, as composições 6 e 8 mmol% apresentaram maiores cinética e rendimento (Fig. 2b). Optou-se, portanto, por 6 mmol%. A influência da massa do suporte também foi investigada, sendo que 10 mg resultou na melhor performance catalítica (Figura 2c). Esse comportamento pode estar relacionado à diluição do teor metálico por massa total, o que reduz a densidade de sítios ativos expostos. Além disso, o excesso de suporte pode limitar a difusão dos reagentes até os centros catalíticos, comprometendo a eficiência da reação [3]. A concentração do AB também foi avaliada, sendo 0,58 mmol L-1 a mais eficaz para maximizar a liberação de H2 sem comprometer a estabilidade do sistema. Ensaios na presença de NaOH (0,010-0,075 mol L⁻¹) indicaram que a ausência de meio básico favoreceu a reação. Além disso, experimentos realizados com água deuterada revelaram um efeito isotópico (KIE) de 3,12, sugerindo que a quebra da ligação O-H é a etapa determinante da reação, em concordância com estudos anteriores (Fig. 2d). [4] Por fim, a influência da temperatura foi avaliada na faixa de 20 a 50 °C. Observou-se um aumento na HGR com a elevação térmica. A energia de ativação, determinada a partir da curva de Arrhenius (Figura 1b), foi de 39 kJ·mol⁻¹, valor compatível com a literatura [4,5]



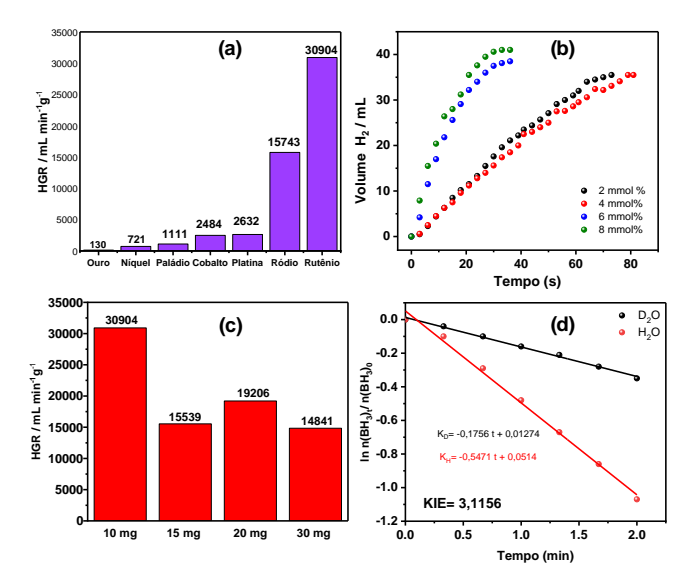


Figura 2. (a) Triagem de metais, (b) Efeito da dose de Ru NPs, (c) Efeito da dose de suporte. d) Estudo mecanístico na evolução de H2 mediada por Ru NPs/LiNbMoO₆

Os ensaios de durabilidade demonstraram elevada estabilidade catalítica, com o material mantendo sua eficiência ao longo de 20 ciclos consecutivos, sem perda significativa na taxa de produção de H₂.

Conclusões

Foi desenvolvido um catalisador eficiente para a evolução de hidrogênio baseado no sistema Ru/LiNbMoO₆, que se destacou pela elevada taxa de geração de hidrogênio, baixa energia de ativação (39 kJ·mol⁻¹) e excelente estabilidade ao longo de múltiplos ciclos. A otimização das proporções entre metal e suporte, juntamente com a caracterização estrutural detalhada, evidenciou uma forte sinergia entre os componentes, fundamental para o desempenho catalítico observado. Esses resultados indicam que o Ru/LiNbMoO₆ representa uma alternativa promissora, eficiente e reutilizável para aplicações práticas em sistemas sustentáveis de produção de hidrogênio.

Agradecimentos

CNPq (Processo 312400/2021-7, 405828/2022-5 e 407799/2022-2), FAPEMIG (RED-00144-22).

Referências

- N. S. P. Bhuvanesh; J. Gopalakrishnan, *Inorg. Chem.*, 1995, 34 (14), 3760–3764. DOI: 10.1021/ic00118a025
- J. He; Y. Zhang; J. Huang; L. Hu, RSC Adv., 2014, 4 (43), 22334. DOI: 10.1039/C4RA02933D
- Z. Wang; L. Hu; J. Zhu; J. He, Russ. J. Phys. Chem. A, 2022, 96 (10), 2238–2245. DOI: 10.1134/S003602442210034X
- Y. Zheng; Y. Jiao; A. Vasileff; S.-Z. Qiao, Angew. Chem. Int. Ed., 2018, 57 (26), 7568–7579. DOI: 10.1002/anie.201710556
- Y. Zhang; H. Liu; X. Wang; J. Zhao, Catalysts, 2023, 13 (1), 120– 120. DOI: 10.3390/catal13010120
- B.-L. Lin; X. Chen; B.-T. Niu; Y.-T. Lin; Y.-X. Chen; X.-M. Lin, Catalysts, 2024, 14 (10), 671. DOI: 10.3390/catal14100671